

الاداء الحراري للمجف الشمسي وتأثيره في بعض الصفات الهندسية للتجفيف

غياش حميد مجيد * اسعد رحمن الحلفي *

قسم علوم الاغذية والتقانات الاحيائية - كلية الزراعة - جامعة البصرة - العراق
ghmajeed@yahoo.com, [•asaadrehman@yahoo.com](mailto:asaadrehman@yahoo.com)

الخلاصة

تمت دراسة الاداء الحراري للمجف الشمسي من النوع غير المبادر ذي الجريان الطبيعي وتأثيره في بعض الصفات الهندسية للتجفيف مقارنة بطريقتي التجفيف الشمسي الطبيعي والمجف الكبيرائي عند تجفيف كل من المسمش والنعنع والعنبر والباميما وكانت الصفات المدروسة هي : الطاقة الحرارية المفقودة (واط) من جميع اجزاء المجف الشمسي والكافأة الحرارية الكلية (%) له في فصلي الصيف والشتاء ومعدل التجفيف (غم ماء/غم مادة جافة. ساعة) والنشاط المائي ومعامل انتشار الرطوبة ($m^2/\text{ث}$) وثابت التجفيف (ساعة $^{-1}$) ومعامل استرجاع الماء ونسبة الرطوبة بعد الاسترجاع (%). بينت النتائج ان الطاقة الحرارية المفقودة من المجمع الشمسي هي اعلى من بقية اجزاء المجف الشمسي الاخرى ، كما انها اعلى في فصل الصيف منها في فصل الشتاء .

وصلت الكافأة الحرارية الكلية للمجف الشمسي في فصل الصيف الى 63% ، بينما وصلت الى 21% في فصل الشتاء . كما اظهرت النتائج ان كل من معامل انتشار الرطوبة وثابت التجفيف ومعامل استرجاع الماء ونسبة الرطوبة بعد الاسترجاع كانت اعلى عند استعمال المجف الشمسي مقارنة مع طريقتي التجفيف الاخرين . كما انه اعطى اقل قيم للنشاط المائي للاغذية المجففة .

الكلمات المفتاحية : مجف شمسي ، اغذية مجففة ، حرارة.

المقدمة

التجفيف هو احدى الطرق القديمة والمستعملة بشكل واسع لحفظ الاغذية ، اذ انه يعمل على ازالة الرطوبة منها مما يؤدي الى توقف نشاط الاحياء المجهرية وضمان عدم تلفها . وتكون الاغذية المجففة خفيفة الوزن وسهلة التحضير والخزن . هنالك طائق عدة لتجفيف الاغذية مثل التجفيف الشمسي الطبيعي اذ تفرش الاغذية على قماش وتعرض للشمس مع التقليب الى ان تجف وهي طريقة غير مرغوبة بسبب احتياجها الى زمن ومساحة كبيرين للتجفيف وكذلك تعرض الاغذية الى التلوث بالغار والاصابة بالحشرات وتعرضها الى الامطار مما ينتج عنه نوعية غير جيدة للمنتج المجفف . وهنالك نوع اخر من المجففات وهي المجففات الميكانيكية التي تعتمد في عملها على الطاقة الكهربائية وتنمتاز بالسرعة العالية في تجفيف الاغذية الا انها تعطي منتوج غير متجانس وذو نوعية غير جيدة

ماعدا طريقي التجفيف بالتجفيف والتجفيف تحت التفريغ وهاتان الطريقتان مكلفتان جدا كما انها تحتاج الى طاقة كهربائية عالية . (١٩).

ان المجففات الشمسية تحتاج الى مناطق تتوفّر فيها درجات حرارة مرتفعة ورطوبة نسبية منخفضة ، واحد البلدان المعروفة في هذا الميدان هو العراق ، اذ ان عدد الساعات المشمسة سنويا فيه تصل الى ٣٦٠٠ ساعة (١) ومعدل طاقة الاشعاع الشمسي تصل الى ٧٦٠ واط/م^٢ (٢) .

توجد انواع عدّة من المجففات الشمسية مثل المجففات الشمسية ذات الجريان الطبيعي او ذات الجريان القسري وهي اما من النوع المباشر وفيها يتعرض الغذاء الى الاشعاع الشمسي المباشر او من النوع غير المباشر وفيه الغذاء لا يتعرض الى الاشعاع الشمسي ، وهناك نوع اخر هو المجففات الشمسية المختلفة وفيها يتعرض الغذاء الى الاشعاع الشمسي والهواء الساخن بالوقت نفسه ، والنوع الاخير هو المجففات الشمسية الهجينه التي تحتوي على سخانات كهربائية ومرابح تستخد كمساعد في الصباح او في الليل او في الظروف غير الطبيعية (٨) . وجد Sabbah (١٦) ان الكفاءة الحرارية الكلية لمجفف شمسي ذو جريان قسري وصلت الى ٤٣ % عند معدل تدفق للهواء مقداره ٢١٥ م^٣/ساعة . يُعد معدل التجفيف احد الصفات الاساسية المستخدمة لتحديد اداء أي منظومة تجفيف تعمل بالطاقة الشمسية (٩)

ذكر (٥) Ayensu & Asiedu-Bondezie ان زيادة ثابت التجفيف تؤدي الى تقليل الزمن اللازم للتجفيف . ان النشاط المائي مهم في تحليل استقرار المخزون من الغذاء الجاف اذ انه يزداد مع زيادة المحتوى الرطوبى للاغذية (١٧) . يستعمل قانون Ficks الثاني للانتشار الرطوبى بشكل واسع لانتشار الرطوبى في الفواكه والخضروات (٦) ، كما ان الرطوبة المزالة في مرحلة معدل التبخر المترازن تكون عن طريق الانتشار الرطوبى (١٢) . وجد الحلفي (٢) ان نسبة استرجاع الماء للاغذية المجففة بالمجفف الشمسي هي اعلى من تلك المجففة بالطرق التقليدية .

تهدف الدراسة الحالية الى حساب كمية الطاقة الحرارية المفقودة من جميع اجزاء المجفف الشمسي وتأثيرها في الكفاءة الحرارية الكلية للمجفف الشمسي وحساب معدلات التجفيف لاهميتها في معرفة الزمن اللازم للتجفيف وسلوكية انخفاض الرطوبة في الاغذية المجففة وقابليتها على استرجاع رطوبتها مقارنة بالتجفيف الشمسي الطبيعي والمجفف الكهربائي كون هذه الصفات مهمة في تقييم اداء المجفف الشمسي .

مواد وطرق العمل

اولاً: المجفف الشمسي:

استخدم المجفف الشمسي من النوع غير المباشر ويعمل بالحمل الطبيعي المصنوع محليا من قبل الحلفي (٢) شكل (١) ، اذ يتكون من مجمع شمسي مساحته ٢,٤ م^٢ وصفحة امتصاص مضلعة ذات ستة قنوات يجري فيها الهواء ، ومعزول من الاسفل بمادة الرغوة بسمك ٥ سم ومن الجوانب بنفس

المادة وبسمك ٢,٥ سم . طاقته الاستيعابية الفصوى هي ٥٠ كغم وجه المجمع الشمسي بأتجاه الجنوب وبزاوية ميل مقدارها ٢٠ درجة صيفاً و ٤٠ درجة شتاءً . أما الجزء الآخر منه فهو غرفة التجفيف المصنوعة من الخشب والمعزولة بمادة الرغوة بسمك ٢,٥ سم وتحتوي على اطباق عددها ٩ ، وبعد الطبق الواحد ٠,٥ م * ومزودة بفتحة من الاعلى لخروج الهواء المحمل بالرطوبة يوجد انبوبان بلاستيكيان لنقل الهواء الساخن من المجمع الشمسي الى غرفة التجفيف التي طاقتها الاستيعابية ٥ كغم ومعدل درجة الحرارة فيه صيفاً ٦٧ م° وشتاءً ٤٤ م°

ثانياً: التجفيف الشمسي الطبيعي:

يوضع الغذاء في اطباق معدنية مصنوعة من الحديد المقاوم للصدأ ابعد الواحد منها ٠,٩٠,٥ م ويعرض الغذاء الى الشمس مع التقليل المستمر لحين الجفاف .

ثالثاً: المجفف الكهربائي:

استخدم مجفف كهربائي صنع شركة Gallenkam الانكليزية ويحتوي على سخان كهربائي وموروحة قدرته ٢٠٧٠ واط ، مزود بستة اطباق معدنية مصنوعة من الحديد المقاوم للصدأ وكانت درجة حرارة التجفيف ٦٧ م°

رابعاً: الحسابات:

١- حساب الطاقة الحرارية المفقودة من المجمع الشمسي :

تحدث عملية فقدان الحرارة من جميع جوانب المجفف الشمسي واكبر فقدان حراري يحدث من صفيحة الامتصاص وباتجاه الاعلى وتحسب كمية الطاقة المفقودة من المعادلة الآتية

والمنكورة في (14)

$$Q_L = U_L A_c (T_p - T_a) \dots \dots \dots (1)$$

حيث:

Q_L : كمية الطاقة المفقودة من المجمع الشمسي (واط)

U_L : معامل انتقال الحرارة الكلي (واط/م° م)

A_c : مساحة المجمع الشمسي (م²)

T_p : درجة حرارة صفيحة الامتصاص (م°)

T_a : درجة حرارة الجو (م°)

ويحسب معامل انتقال الحرارة الكلي من المعادلة الآتية :

$$U_L = U_t + U_e + U_b \dots \dots \dots (2)$$

$$q_{L-t} = \left[h_{p-t} (T_p - T_g) + \frac{\sigma (T_p^4 - T_g^4)}{\frac{1}{\varepsilon_p} + \frac{1}{\varepsilon_g} - 1} \right] A \dots \dots \dots (3)_c$$

حیث:

U : معامل انتقال الحرارة من السطح العلوي ($\text{واط}/\text{م}^2 \cdot \text{م}^\circ$)

٦: معامل انتقال الحرارة من الجوانب ($\text{واط}/\text{م}^2 \cdot \text{م}^\circ$)

μ : معامل انتقال الحرارة من الاسفل (واط/م² °C)

يحدث فقدان الحرارة الى الجو من صفيحة الامتصاص بسبب ارتفاع درجة حرارتها بطريقتي الحمل والاشعاع . ولحساب كمية الحرارة المنقولة من صفيحة الامتصاص عند درجة

حرارة T_p الى الغطاء الزجاجي عند درجة حرارة T_g

٤١- q : كمية الحرارة المفقودة من صفيحة الامتصاص الى الغطاء الزجاجي (واط)

h_p : معامل انتقال الحرارة بالحمل بين صفيحة الامتصاص والغطاء الزجاجي (واط/م² °م)

ثابت Stefan-Boltzmann وقیمته $5,6697 \cdot 10^{-5} \text{ واط}/\text{م}^2 \text{ کلفن}^4$ است.

٤: انبعاثية طلاء صفيحة الامتصاص

٤: انبعاثية الغطاء الزجاجي

بحسب h_{p-g} من المعادلة الآتية :

$$h_{p-g} = \frac{N_u k}{L} \dots \dots \dots (4)$$

Nusslt رقم: N_u

k : الموصلية الحرارية للهواء (واط/م °)

L : سمك الحيز الهوائي (م)

يحسب رقم نسلت من المعادلة الآتية (٧) :

ويحسب رقم Raliegh من المعادلة الآتية (١٣):

$$R_a = \frac{g\beta' \Delta T L^3}{g_a \alpha_a} \dots \dots \dots (6)$$

حيث ان معامل التمدد الحجمي هو:

حيث:

g : التسجيل الأرضي ($\text{م}/\text{s}^2$)

β' : معامل التمدد الحجمي للهواء بضغط ثابت ($1/\text{كيلون}$)

α_g : التزوجة الكائيناتيكية ($\text{م}^2/\text{s}$)

α_c : معامل الانتشارية الحرارية ($\text{م}^2/\text{s}$)

ΔT : الفرق بين درجتي حرارة صفيحة الامتصاص والغطاء الزجاجي (م)

T_a : درجة حرارة الطبقة الهوائية (كيلون)

يحسب مقدار فقدان الحرارة من السطح الخارجي للغطاء الزجاجي إلى الجو بالحمل والأشعة من المعادلة الآتية:

$$q_{r-g} = (h_{r,p-g} + h_w)(T_s - T_a)A_c \quad (8)$$

h_r : معامل انتقال الحرارة بالأشعة من السطح الخارجي للغطاء الشفاف عند درجة حرارة

إلى الجو عند درجة حرارة T_{sky} ويعطى من المعادلة الآتية:

$$h_{r,g-a} = \varepsilon_g \sigma (T_s^2 - T_{sky}^2) (T_g + T_{sky}) A_c \quad (9)$$

تحسب درجة حرارة السماء T_{sky} من العلاقة الآتية:

$$T_{sky} = 0.0552 T_a^{1.5} \quad (10)$$

h_w : معامل انتقال الحرارة بسبب الريح ($\text{واط}/\text{م}^2\text{م}^0$) ويحسب من المعادلة الآتية:

$$h_w = 5.7 + 3.8v \quad (11)$$

v : سرعة الريح ($\text{م}/\text{s}$)

تحسب $h_{r,p-g}$ من المعادلة الآتية (7):

$$h_{r,p-g} = \frac{(T_p - T_g)(T_p^2 + T_g^2)}{\left(\frac{1}{\varepsilon_p}\right) + \left(\frac{1}{\varepsilon_g}\right) - 1} \quad (12)$$

لذلك فإن معامل انتقال الحرارة من السطح العلوي يعطى من المعادلة الآتية:

$$U_t = \left[\frac{1}{h_{p-g} + h_{r,p-g}} + \frac{1}{h_w + h_{r,g-a}} \right]^{-1} \quad (13)$$

تسرب الحرارة من أسفل المجمع الشمسي حيث يحسب مقدارها باستخدام معامل انتقال الحرارة

من السطح السفلي بموجب المعادلة الآتية:

$$U_b = 1 / \left[\frac{x_1}{k_1} + \frac{x_b}{k_{ib}} + \frac{1}{h_w} \right] \quad (14)$$

x : سمك الأطار الخشبي (م)

x : سمك طبقة العازل السفلية (م)

k_1 : الموصليّة الحراريّة للإطار الخشبي (واط/م °)

k_{t_b} : الموصليّة الحراريّة للطبقة العازلة (واط/م °)

يحدث فقدان الحرارة من جانب المجمع الشمسي بواسطة عملية الحمل والاسعاع بالفقدان الحراري الجاذبي ، ويحسب بأفتراض سررين الحرارة بعد واحد ويمكن تمثيله بالمعادلة الآتية

:(Y)

$$q_{L-e} = H_c P_c \frac{k_{i,e}}{x_{i,e}} (T_p - T_a) \dots \quad (15)$$

H_e : الارتفاع الخارجي للمجمع (م)

P_c : محيط المجمع (م)

k : الموصليّة الحراريّة لطبقة العازل الجانبيّة (واط/م °)

x : سمك طبقة العازل الجانبية (م)

يحسب معامل الفقدان الحراري من الجوانب من المعادلة الآتية:

$$U_e = \frac{(UA)_e}{A} \dots \quad (16)$$

A : مساحة صفيحة الامتصاص م²

(UA) : حاصل ضرب معامل انتقال الحرارة من السطح الجانبي في مساحة جوانب المجمع

وبالتعويض في معادلة ١٦ ينتَج:

$$U_e = \frac{(k_{i,e} / x_{i,e}) H_c P_c}{A} \dots \quad (17)$$

٤- حساب الطاقة الحرارية المفقودة من الانابيب البلاستيكية:

من معادلة Fourier يمكن حساب الطاقة الحرارية المفقودة وكالاتي (11):

عند الشروط الحرجة

تستخدم هذه المعادلة في حساب الطاقة الحرارية المفقودة من الأنابيب وكالاتي:

$$Q_1 = \frac{2\pi k L(T_1 - T_2)}{\ln\left(\frac{r_2}{r_1}\right)} \quad \dots \dots \dots (19)$$

$$Q_2 = \frac{2\pi k L(T_2 - T_3)}{\ln\left(\frac{r_3}{r_2}\right)} \quad \dots \quad (20)$$

$$Q_i = h_i 2\pi r_1 L (T_i - T_o) \dots \dots \dots (21)$$

$$Q_s = h_s 2\pi r_s L (T_s - T_i) \dots \dots \dots (22)$$

$$Q_1 = Q_o = Q_i = Q_2 = Q_e$$

بعد جمع المعادلات اعلاه ينتج:

$$Q_p = 2(T_i - T_o) \left[\frac{1}{h_i 2\pi r_1 L} + \frac{\ln\left(\frac{r_2}{r_1}\right)}{2\pi k_4 L} + \frac{\ln\left(\frac{r_3}{r_2}\right)}{2\pi k_3 L} + \frac{1}{h_3 2\pi r_3 L} \right] \dots \dots \dots \quad (23)$$

٣- حساب الطاقة الحرارية المفقودة من غرفة التجفيف:

تحت من قانون فورير لكل مادة وكالاتي:

$$Q_i = h_i A(T_i - T_1) \dots \quad (27)$$

$$Q_o = h_o A(T_4 - T_o) \dots \dots \dots (28)$$

$$Q_A = Q_B = Q_C = Q_i = Q_o = Q_l$$

بعد جمع المعادلات اعلاه ينتج:

$$Q_3 = \frac{2(T_i - T_o)}{\frac{1}{h_i} + \frac{x_A}{k_A A_1} + \frac{x_B}{k_B A_1} + \frac{x_C}{k_C A_1} + \frac{1}{h_o A_1}} \quad \dots \dots \dots (31)$$

$$Q_s = \frac{2(T_i - T_o)}{\frac{1}{h_i} + \frac{x_A}{k_A A_3} + \frac{x_B}{k_B A_3} + \frac{x_C}{k_C A_3} + \frac{1}{h_o A_3}} \quad \dots \dots \dots (33)$$

إذاً الطاقة الحرارية الكلية المفقودة من المجف الشمسي هي:

ج

٥: الطاقة الحرارية المفقودة من جدارين متماشين

O_2 : الطاقة الحرارية المفقودة من الجانب الخلفي

٥: الطاقة الحرارية المفقودة من الباب

٥: الطاقة الحرارية المفقودة من الاسفل

Q_5 : الطاقة الحرارية المفقودة من الاعلى وانه ذو جانبين

٤ - الاغذية المستعملة:

تم استعمال اربعة انواع من الاغذية هي المشمش والتين والعنب والباميما . وضع في كل طريقة تجفيف ٥٠ كغم من الغذاء الطازج بعد سلقه لمدة ٣-٢ دقيقة بالماء الحار بدرجة ٩٥ م° ثم وضع في ماء بارد ويشكل دفعات(15).

٥- حساب الكفاءة الكلية للمجمع الشمسي :

تحسب من خلال معرفة الطاقة المنتزعة q والتي تحسب من المعادلة الآتية (٤):

$$q = mc_p(T_o - T_i) \dots \dots \dots (35)$$

وتقسمها على طاقة الإشعاع الشمسي I مضروباً في حاصل قسمة درجة حرارة الهواء الداخل إلى غرفة التجفيف T_{∞} على درجة حرارة الهواء الخارج من المجمع الشمسي T (١٦) وكانتي:

جیٹ:

m : التدفق الكثي للهواء (كغم/م^٢.ثا)

c_p : الحرارة النوعية للهواء (كج/كغم.°)

T_i : درجة حرارة الهواء الداخل إلى المجمع الشمسي (°م)

٦- حساب ثابت ومعدل التجفيف:

يحسب من المعادلة الآتية (٢٠):

$$MR = \frac{M - M_e}{M_o - M_e} = A \exp(-kt) \dots \dots \dots (37)$$

جیٹ:

نسبة الرطوبة : MR

M: المحتوى الرطبوى على اساس الوزن الجاف (غم ماء/غم مادة جافة)

M: المحتوى الرطّوبـي المتوازن (غم ماء/غم مادة جافة)

M_0 : المحتوى الرطوبى الاولى (غم ماء/غم مادة جافة)

ثابت : A

ثابت النجفيف (ساعة k)

١٤: زَمْنُ التَّجْفِيفِ (سَاعَةً)

بعد رسم العلاقة بين المحتوى الرطبى والزمن وكان معامل الارتباط يتراوح بين .٧٩ و .٩٥ ومنها تستخرج قيمة k .

يحسب معدل التجفيف من المعادلة الآتية (١٠):

$$\frac{dM}{dt} = -k(M - M_e) \dots \dots \dots (38)$$

جیٹ:

$\frac{dM}{dt}$: معدل التجفيف (غم ماء/غم.مادة جافة. ساعة)

٧- حساب النشاط المائي:

ويتمثل الرطوبة النسبية المتوازنة مقسوماً على ١٠٠٪.

-٨- معامل انتشار الرطوبة:

يحسب من المعادلتين الآتىتين (١٠):

$$D = \frac{R^2 k}{\pi^2} \dots \dots \dots \quad (39)$$

$$D = \frac{R^2 k}{5.7331} \dots \dots \dots (40)$$

تستخدم المعادلة (٣٩) لlaguine الدائيرية الشكل بينما المعادلة (٤٠) تستخدم لlaguine الاسطوانية الشكل.

حث:

D : معامل انتشار الرطوبة (سم٢/ثا)

R : نصف قطر الغذاء (سم)

٩- معامل استرجاع الماء ونسبة الرطوبة بعد الاسترجاع :
نـ حسابهما من المعادلتين الآتـين (١٨):

$$R_H = \frac{(c - w_s)}{c} \times 100 \dots \dots \dots (42)$$

نسبة الرطوبة : MR

M : المحتوى الرطوبى على اساس الوزن الجاف (غم ماء/غم مادة جافة)

M_e : المحتوى الرطبوبي المتسا وزن (غم ماء/غم مادة جافة)

M : المحتوى الرطوبى الاولى (غم ماء/غم مادة جافة)

ثابت : A

ثابت النَّجْفِيف (ساعة k) :

١٢- زمان التجفيف

بعد رسم العلاقة بين المحتوى الرطبى والزمن وكان معامل الارتباط يتراوح بين ٠,٧٩ و ٠,٩٥ ومنها تستخرج قيمة k .

يحسب معدل التجفيف من المعاملة الآتية (١٠):

$$\frac{dM}{dt} = -k(M - M_e) \dots \dots \dots (38)$$

ج

معدل التجفيف ($\frac{dM}{dt}$) : مقدار المادة المتجففة في الثانية.

- حساب النشاط المائي:

ويمثل الرطوبة النسبية المترادفة مقسوماً على ١٠٠ (١٧).

- ٨- معامل انتشار الرطوبة:

يحسب من المعادلين الآتيين (١٠):

$$D = \frac{R^2 k}{\pi^2} \dots \dots \dots \quad (39)$$

$$D = \frac{R^2 k}{5.7331} \dots \dots \dots (40)$$

تستخدم المعادلة (٣٩) لlaguine الدائري الشكل بينما المعادلة (٤٠) تستخدم لlaguine الاسطوانية الشكل.

ج

D : معامل انتشار الرطوبة (سم٢/ثا)

R : نصف قطر الغذاء (سم)

٩- معامل استرجاع الماء ونسبة الرطوبة بعد الاسترجاع :

تم حسابهما من المعادلين الآتيين (١٨):

$$R_f = c(100 - m)/(w_d - m_r) \times 100 \dots \dots \dots (41)$$

$$R_H = \frac{(c - w_s)}{c} \times 100 \dots \dots \dots (42)$$

R_r : معامل استرجاع الماء

c : وزن النموذج بعد الاسترجاع (غم)

m : نسبة الرطوبة في النموذج قبل التجفيف (%)

w : وزن النموذج المجفف (غم)

m_r : نسبة الرطوبة في النموذج المجفف (%)

w_r : وزن المادة الجافة في النموذج (غم)

R_H : نسبة الرطوبة بعد الاسترجاع (%)

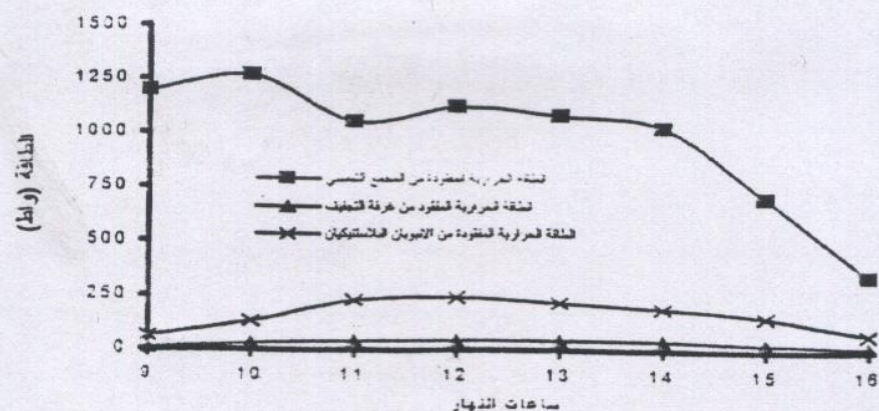
استعملت تجربة عاملية بالتصميم العشوائي الكامل (4^*3) (اربعة انواع من الاغذية هي المشمش والتين والعنب والباميَا * ثلاثة طرائق تجفيف هي التجفيف الشمسي الطبيعي والمجفف الشمسي والمجفف الكهربائي) واستخدم اختبار اقل فرق معنوي المعدل للمقارنة بين متوسطات المعاملات على مستوى احتمالي (٣٠٠٠٥)

النتائج والمناقشة

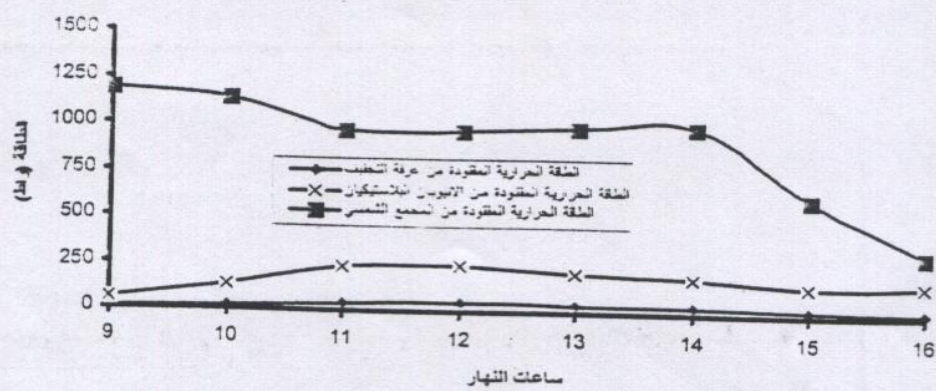
١- الطاقة الحرارية المفقودة:

يلاحظ من الشكلين (٢ او ١) ان الطاقة الحرارية المفقودة من المجمع الشمسي هي اكبر من تلك المفقودة في الانبوبان البلاستيكيان والاخيران اكبر من تلك المفقودة في غرفة التجفيف في فصل الصيف والشتاء . كما نلاحظ ان الطاقة الحرارية المفقودة من المجمع الشمسي تكون اعلى عند الساعتين التاسعة والعشرة صباحا في فصل الصيف والشتاء وهذا بسبب زيادة الفرق في درجة حرارة الجو والمجمع الشمسي مما يؤدي الى زيادة معامل الفقدان الحراري الكلي بشكل كبير . بينما لم تحدث هذه الحالة في الانبوبان البلاستيكيان وغرفة التجفيف بسبب وجود المادة العازلة (الرغوة) وهي ذات عزل حراري كفؤ .

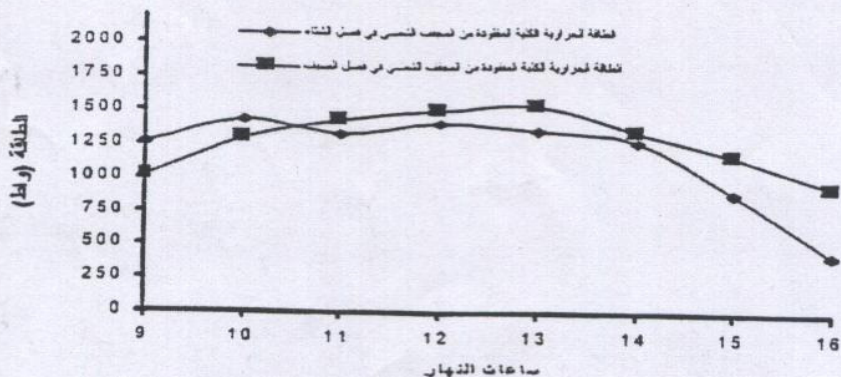
يلاحظ من الشكل (٣) ان الطاقة الحرارية المفقودة من المجفف الشمسي في فصل الصيف هي اعلى من تلك المفقودة في فصل الشتاء ماعدا ساعات النهار الاولى وهي الساعتين التاسعة والعشرة صباحا . وهذا يعود الى ان زيادة معامل الفقدان الحراري الكلي في فصل الصيف بسبب ارتفاع درجات حرارة صفيحة الامتصاص فتكون هنالك طاقة حرارية فائضة تفقد عن طريق السطح العلوي من المجمع الشمسي الى الجو وخصوصا عند ساعات الحمل الاقصى وهي من الساعة العاشرة صباحا ولغاية الساعة الثانية بعد الظهر .



شكل(١): الطاقة الحرارية المفقودة من اجزاء المجفف الشمسي في فصل الصيف.



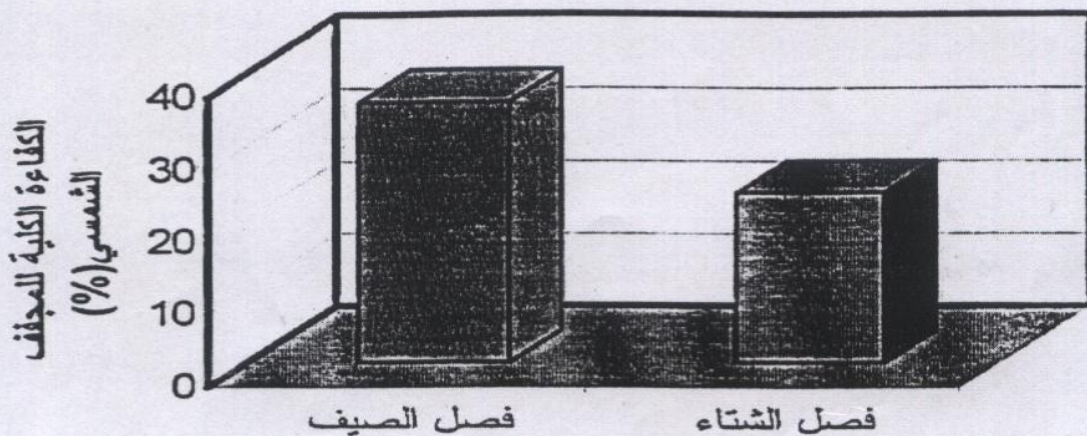
شكل(٢): الطاقة الحرارية المفقودة من اجزاء المجفف الشمسي في فصل الشتاء.



شكل(٣): الطاقة الحرارية المفقودة من المجفف الشمسي في فصلي الصيف والشتاء.

٢- الكفاءة الحرارية الكلية:

يلاحظ من الشكل (٤) ان الكفاءة الحرارية الكلية للمجفف الشمسي في فصل الصيف اعلى منها في فصل الشتاء وهذا بسبب ارتفاع درجة حرارة صفيحة الامتصاص خلال ساعات الحمل الاقصى مما يؤدي الى زيادة درجة حرارة الهواء فتزداد حركته الديناميكية وهذا بدوره يزيد من الطاقة المنتزعة وبالتالي زيادة كل من كفاءة المجمع الشمسي وكفاءة غرفة التجفيف والذي بدوره سينعكس ايجابا على الكفاءة الحرارية الكلية مؤديا الى زيادتها ، اذ ان مقدار الزيادة بالطاقة المنتزعة سيكون اكبر بكثير من الزيادة بمعامل فقدان الحراري الكلي. وهذه الكفاءة مقاربة الى ما وجده Sabbah (١٦) اذ ان الكفاءة الحرارية الكلية لمجفف شمسي ذو جريان قسري وصلت الى ٤٣ % عند معدل تدفق للهواء مقداره $215 \text{ م}^3/\text{ساعة}$.



شكل (٤): الكفاءة الحرارية الكلية للمجفف الشمسي في فصل الصيف والشتاء.

٣- معدل التجفيف

يلاحظ من الشكل (٥) ان هنالك مرحلتين للتجفيف هما التجفيف بمعدل ثابت اذ ان معدل التجفيف لا يتغير مادام هنالك ماء حر بالقرب من سطح الغذاء ويبقى معدل التجفيف ثابت الى ان يصل الى المحتوى الرطوي الحرج الذي بعده ينخفض معدل التجفيف وتسمى هذه المرحلة بمعدل التجفيف المتناقص وان عملية خروج الرطوبة تكون اصعب مما في الحالة الاولى كون الماء يكون مرتبط. كما اظهرت النتائج ان لطريقة التجفيف تأثير على المحتوى الرطوي الحرج ، ففي حالة التجفيف الشمسي الطبيعي نلاحظ ان المحتوى الرطوي الحرج يحصل عند ازالة محتويات رطوبية اقل مما في حالة استعمال المجفف الشمسي والمجفف الكهربائي ، كما ان الاخير يحصل فيه عند ازالة

محتويات رطوبية أعلى من المجف الشمسي ، وهذا بسبب ارتفاع درجة الحرارة الذي يؤدي إلى تبخر كم كبير من الرطوبة الموجودة في الغذاء ويتبعه جميع الماء الحر بسرعة، وهذا ما يحدث في المجف الكهربائي ويليه المجف الشمسي.

يلاحظ من الشكل (٦) أن الزمن اللازم لمعدل التجفيف الثابت هو أقل من الزمن اللازم لمعدل التجفيف المتناقص لأنه في حالة الأخير يجب التغلب على القوى الرابطة للماء داخل الخلية وأنه يجب أن يصعد إلى السطح عن طريق الخاصية الشعرية وهذه العملية تحتاج إلى زمن كبير فمثلاً الزمن اللازم لمعدل التجفيف الثابت للم المشمس المجف بالمجف الشمسي هو ٣ ساعة بينما يتطلب ٣٣ ساعة لمعدل التجفيف المتناقص . كما نلاحظ من الشكل نفسه أن زيادة زمن التجفيف أدى إلى انخفاض في معدل التجفيف للاغذية المجففة بطرائق تجفيف مختلفة جنديها وكان الانخفاض بمعدل التجفيف بطريقة التجفيف الشمسي الطبيعي أقل مما في حالة المجف الشمسي والأخير أقل من المجف الكهربائي.

٤- ثابت التجفيف:

يلاحظ من جدول (١) أن ثابت التجفيف للاغذية المجففة بالمجف الشمسي أعلى من التجفيف الشمسي الطبيعي والمجف الكهربائي وذلك لأن التجفيف الشمسي الطبيعي يتطلب زماناً أكبر بكثير من طريقي التجفيف الآخرين ، بينما في حالة المجف الكهربائي فإن سبب انخفاض ثابت التجفيف له هو نتيجة بقاء الرطوبة ممحونة داخل الغذاء بسبب الانكماس والتصلب السطحي وذلك يطول زمن التجفيف بشكل نسبي مقارنة مع المجف الشمسي إلا أن الاختلافات بينهما طفيفة وكذلك اختلاف الظروف من ضغط ودرجة حرارة ورطوبة إذ أن المجف الكهربائي يمكن التحكم بظروفه بسهولة بينما يصعب ذلك في المجف الشمسي إذ أن درجة الحرارة والرطوبة متغيرة مع الزمن. وكما ذكر(5) Ayensu & Asiedu-Bondezie ان زيادة ثابت التجفيف تؤدي إلى تقليل الزمن اللازم للتجفيف .

٥- معامل استرجاع الماء ونسبة الرطوبة بعد الاسترجاع:

يشير الجدول (١) إلى أن معامل استرجاع الماء ونسبة الرطوبة بعد الاسترجاع هي أعلى عند استعمال المجف الشمسي في تجفيف الأغذية منه عند استعمال المجف الكهربائي والتجفيف الشمسي الطبيعي وللاغذية جميعها وهذا قد يؤدي إلى تجانس عملية التجفيف في الأغذية المجففة بالمجف الشمسي بشكل أكبر من الطريقتين الآخرين مما جعل التجفيف ينتقل إلى داخل الغذاء وتخرج الرطوبة منه إضافة إلى ذلك يكون الانكماس قليلاً مما يجعل المسامية أعلى في الغذاء المجف فيه وهذا يؤدي إلى سهولة استرجاع المنتوج بعد إضافة الماء إليه كما أنه يمتلك كمية من الماء مقارنة مع

الطرفيتين الآخرين اضافة الى ذلك فأن المجف الكهربائي يسبب التصلب السطحي وهذا يجعل الغذاء يمتص كمية اقل من الماء مما يؤدي الى انخفاض معامل استرجاع الماء ونسبة الرطوبة بعد الاسترجاع ، وجد الحلفي (٣) ان نسبة استرجاع الماء للاغذية المجففة بالمجف الشمسي هي اعلى من تلك المجففة بالطريق التقليدية .

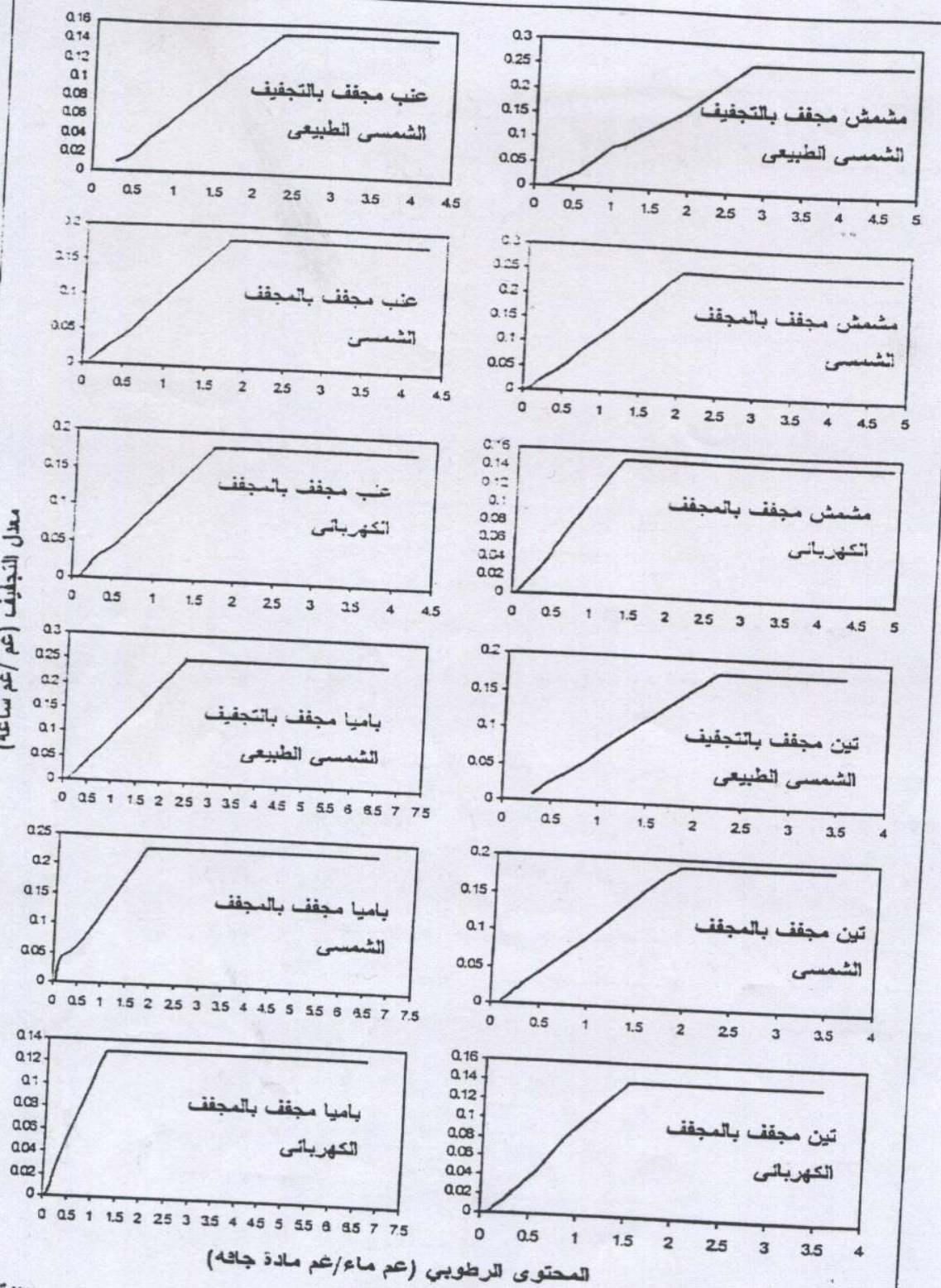
٦- النشاط المائي:

نلاحظ من الشكل (٧) ان النشاط المائي للاغذية المجففة بالتجفيف الشمسي الطبيعي اعلى من المجف الكهربائي والاخير اعلى من المجف الشمسي وهذا يعود الى انه في حالة التجفيف الشمسي الطبيعي فأن الغذاء معرض للتغيرات في الظروف الجوية كتغير الرطوبة ودرجة الحرارة اذ انه عندما ترتفع رطوبة الجو فأن الغذاء يمتص رطوبة منه وهذا دائمًا يحدث اثناء الليل . اما في حالة المجف الكهربائي فيسبب حصول حالة التصلب السطحي للاغذية المجففة به ، بسبب ان سرعة التجفيف تؤدي الى سرعة خروج الرطوبة من الغذاء وبالتالي يحصل ترسب للسكريات في الانابيب الشعرية في الغذاء وتتصلب وتتسد المسامات وبالتالي تحجز الرطوبة في داخل الغذاء وتمنع خروجها الى الخارج اضافة الى وجود طبقة سطحية صلبة تمنع خروج الرطوبة من الغذاء.

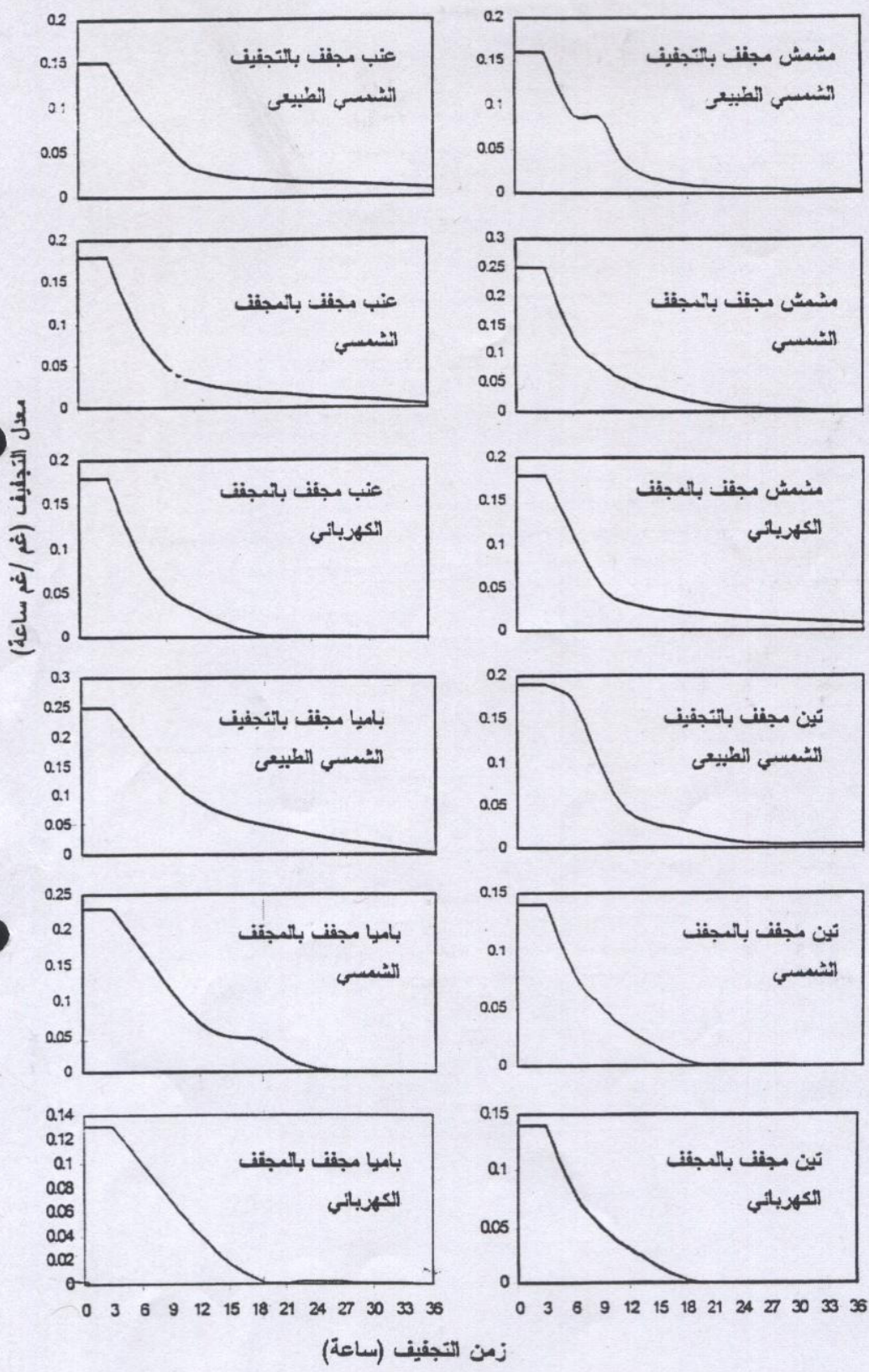
٧- معامل انتشار الرطوبة:

نلاحظ من الشكل (٨) ان معامل انتشار الرطوبة للاغذية المجففة بالمجف الشمسي هي اعلى من طريقي التجفيف الآخرين للاغذية جميعها ماعدا التين والعنب فقد كانت متقاربة جدا ، وهذا يشير الى ان خروج الرطوبة من الاغذية بواسطة المجف الشمسي هي افضل من طريقي التجفيف الآخرين ، اما في حالة العنب والتين فأن تقاربهما قد يعود الى وجود الطبقة الشمعية التي تعيق خروج الرطوبة منها الا ان المجف الكهربائي يسبب انكماس كبير للاغذية المجففة وهذا بدوره ايضا يعيق انتشار الرطوبة وخروجها من الغذاء . كما ان الرطوبة المزالة في مرحلة معدل التبخر المتزاول تكون عن طريق انتشار الرطوي (١٢).

معدل التجفيف (شم / غم ساعة)



شكل(٥): العلاقة بين معدل التجفيف والمحنوى الرطوي للاغذية المختلفة والمجففة بطرائق تجفيف مختلفة.

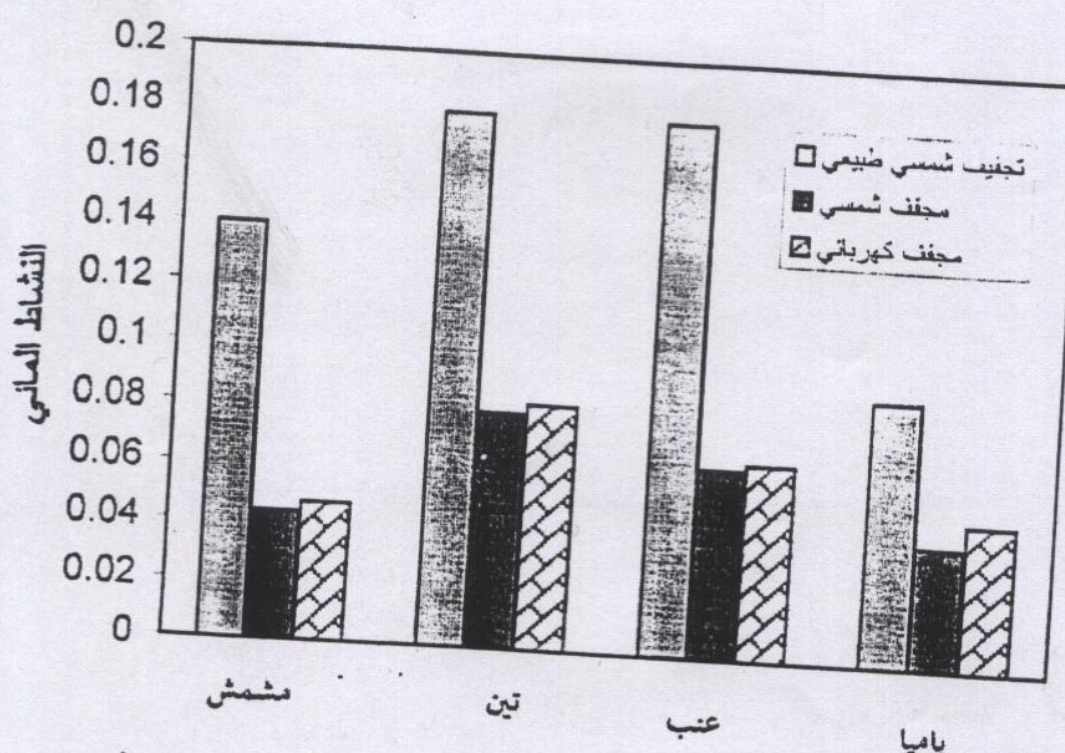


شكل (٦): العلاقة بين معدل التجفيف والمحتوى الرطوبى للاغذية المختلفة والمجففة بطرائق تجفيف مختلفة.

جدول(١): تأثير طائق التجفيف على ثابت التجفيف ومعامل استرجاع الماء ونسبة الرطوبة بعد الاسترجاع لعدة أغذية.

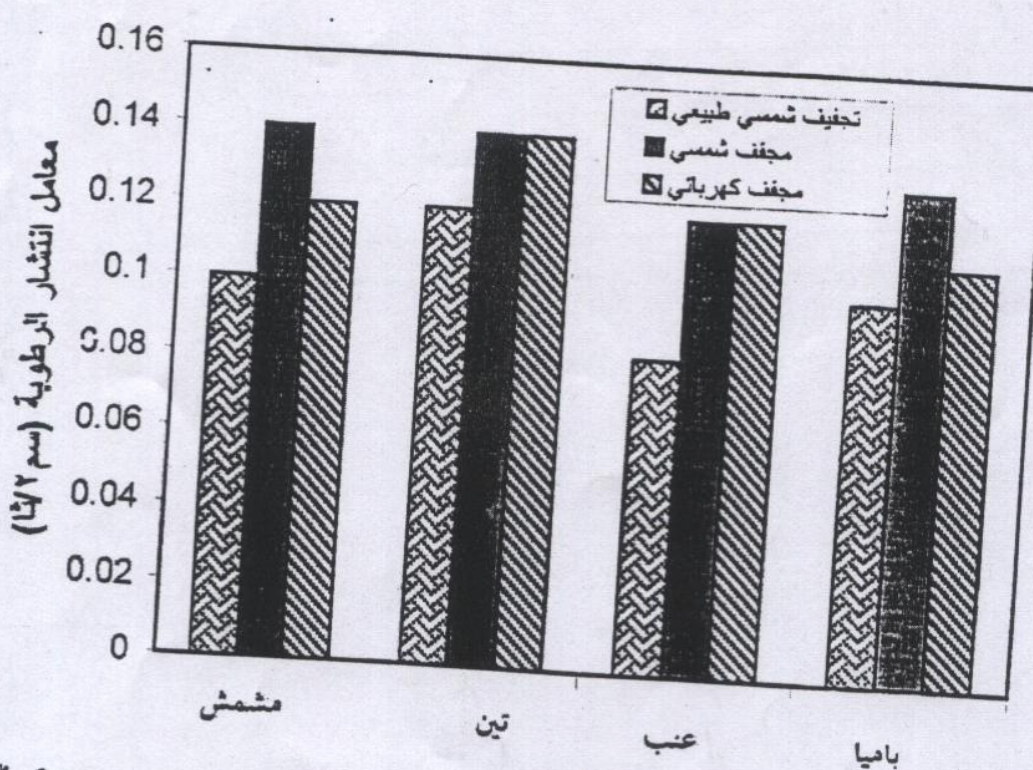
الاغذية	طائق التجفيف	ثابت التجفيف (ساعة ^١)	معامل استرجاع الماء	نسبة الرطوبة بعد الاسترجاع (%)
مشمش	تجفيف شمسي طبيعي	٤٠,٠٩٤	٣٠,٣٧٨	٣٦٠,٠١
	مجفف شمسي	١٠,١٢٩	١٠,٤٠٦	١٦٢,١٠
	مجفف كهربائي	٣٠,١١٣	٣٠,٣٠٦	٣٥١,٠٣
تين	المعدل	٣٠,١١٤	٣٠,٣٦٣	٣٥٧,٧١
	تجفيف شمسي طبيعي	٤٠,٠٩٢	٣٠,٣٢١	٣٤٠,٦٩
	مجفف شمسي	١٠,١٠٦	١٠,٤٦٥	١٥٨,٢٨
عنب	مجفف كهربائي	٣٠,١٠٣	٣٠,٣١١	٣٣٨,٦٠
	المعدل	٣٠,١٠٠	٣٠,٣٦٥	٣٤٥,٨٥
	تجفيف شمسي طبيعي	٤٠,٠٧٣	٣٠,٢٤٣	٣٣١,٧٠
بامية	مجفف شمسي	١٠,١٠٦	١٠,٦٢٧	١٦٨,٤٥
	مجفف كهربائي	٣٠,١٠٥	٣٠,٢٣٨	٣٢٥,٩٠
	المعدل	٣٠,١٠٧	٣٠,٣٦٩	٣٤٢,٠١
	تجفيف شمسي طبيعي	٤٠,١٠٧	٣٠,٦١٨	٣٧٩,٦٨
	مجفف شمسي	١٠,١٣٠	١٠,٦٣٤	١٨٠,٧١
	مجفف كهربائي	٣٠,١١٠	٣٠,٥٤٨	٣٧٧,٩٤
	المعدل	٣٠,٦٠٠	٣٠,٦٠٠	٣٧٩,٩٤

- الاحرف المتشابهة تشير الى عدم وجود فروق معنوية بين المعاملات
- الاحرف المختلفة تشير الى وجود فروق معنوية بين المعاملات



النشاط المائي لأغذية مجففة بطرق تجفيف مختلفة .

شكل(٧):



معامل انتشار الرطوبة لأغذية مجففة بطرق تجفيف مختلفة *

الاستنتاجات

- نستنتج من الدراسة الحالية بان المجف الشمسي يمتاز بميزات ايجابية مقارنة بطريقة التجفيف الشمسي الطبيعي والمجف الكهربائي وهي:
- ١- لا يحتاج الى طاقة كهربائية لتشغيله وانما يعتمد على الطاقة الشمسية فقط.
 - ٢- ان ثابت التجفيف ومعامل استرجاع الماء ونسبة الرطوبة بعد الاسترجاع كانت للمجف الشمسي أعلى من طريقتي التجفيف المستخدمتين.
 - ٣- لا يسبب حرق للاغذية المجففة بوساطته.
 - ٤- النشاط المائي للاغذية المجففة بوساطته أقل من طريقتي التجفيف المستخدمتين.
 - ٥- معامل انتشار الرطوبة للاغذية المجففة بوساطته أعلى من طريقتي التجفيف المستخدمتين.

المصادر

- ١- العاشر، عبد المجيد محمد رعد (١٩٧٩) . بناء وتصميم سخان شمسي اسطواني مكافئ المقطع متعدد المراحل مع منظومة السيطرة والتعقب الذاتية . رسالة ماجister ، الجامعة التكنولوجية ، العراق .
 - ٢- الحلفي ، اسعد رحمن (٢٠٠٦). تطوير مجفف شمسي ودراسة كفاءته في تجفيف بعض الفواكه والخضر . اطروحة دكتوراه ، كلية الزراعة ، جامعة البصرة.
 - ٣- الروي ، خاشع محمود وعبد العزيز ، محمد خلف الله (٢٠٠٠) . تصميم وتحليل التجارب الزراعية . دار الكتب للطباعة والنشر ، جامعة الموصل ، العراق .
 - ٤- حسن ، عبد علي مهدي و الحكيم ، صادق حسن (١٩٨٥) . تصنيع الاغذية . الجزء الاول ، مطبعة جامعة بغداد .
- 5-Ayensu , A.& Asiedu-Bondzie , V. (1986) . Solar drying with convective self-flow and energy storage . Solar & Wind Technology . 3 (4): 273-279 .
- 6-Chrife,J.(1983) Fundamentals of the drying mechanism during air dehydration of foods. In Advances in food drying . ed A.S. Majumdar, 73-102 New York, NY: Hemisphere publishing Corporation.
- 7-Duffie , J.A. & Beckman , W.A. (1980) . Solar Engineering of thermal processes , Willey – Interscience , New York .
- 8-Ekedukuwa , O. V. & Norton , B. (1999) . Review of solar energy drying system II .An over view of solar drying technology – energy conservation and management . 3 : 615-655 .
- 9-El-Sebaii , A.A. , Abaul-Enein , S. , Ramadan , M.R. & El – Gohary , H. (2002) . Experimental investigation of an indirect type natural convection solar dryer . Energy convection and management. 43: 2251-2266 .

- 10-Henderson,S.M. & Perry,R.L.(1976) Agricultural process engineering, 302-309. Westport, CT: AVI Publishing Co.Inc.
- 11-Holman , J.P. (1976) . Heat transfer. 4th ed. Mc Graw-Hill Kogakusha , LTD
- 12-Ismail, N.& Wooton., M. (1992) Fish salting and drying :a review . ASEAN food Journal 7(4):175-183.
- 13-Lunde , P. J. (1980) .Solar thermal engineering . Willey , New York
- 14-Marzouq, K.K. (1985) Combined collection-storage solar heating by gravel bed. Ph.D thesis. Mech. Eng., Basrah Univ.
- 15-NESCO . (2004) . Food dehydrator and Jerky Maker . American Harvest .1-800-288-4545 . U.S.A. (www.nesco.com)
- 16-Sabbah , M.A. (1986) .Design and performance of a solar drying system in Riyadh area .Journal coll. Agric.King Saud Univ. 8 (1) : 49-76 .
- 17-Singh,R.P.& Heldman,D.R. (1993).Introduction to food engineering . Academic press ,Inc., California.
- 18-Stanislaw , P. Digvir , S.J. , Stefan , C. (1998) . Grain drying. John Willey & sons , Inc. pp. 303 .
- 19-Tiris , C. , Ozbalta , N. , Tiris , M. & Dincer , I. (1994) . Experimental testing of a new solar dryer . International Journal of energy research. 18: 483 – 491 .
- 20-Vaxman , M.& Sokolov , M. (1985) . Analysis of a free flow solar collector. Solar Energy 35 (3) : 287-290.

THE HEAT PERFORMANCE FOR SOLAR DRYER AND ITS EFFECT IN SOME ENGINEERING CHARACTERS FOR DRYING

G.H.Majeed

Asaad R.AL-Hilphy*

Food Sciences & Biotechnology – Agri. College – Basrah Univ. –Iraq

ghmajeed@yahoo.com,

*asaadrehman@yahoo.com

SUMMARY

Heat performance of indirect solar dryer with natural flow drying and its effect on some drying engineering properties, were studied and compared with natural sun drying and electrical drying using apricot, figs, grape and okra as a tested food stuff.

The studied properties were :

lost heat energy (Watt) from all parts of solar dryer, total heat efficiency(%) during summer and winter, drying rate (gm water/gm db h), water activity, moisture diffusion coefficient (m^2/s) drying constant (h^{-1}) ,water retention coefficient and moisture percentage after retention (%).

Results showed that the lost heat energy from solar collector was higher than other parts of the solar dryer, also it was higher during summer than in winter. Total heat efficiency of solar dryer reached during summer 34% , while it reached 21% during winter .

Results also revealed that the moisture diffusion coefficient , drying constant, water retention coefficient, and moisture percentage after retention was higher than using solar dryer in comparison with other tow methods. It also gave lower values of water activity of all dried food .

Key words: solar dryer, dried food, heat.